

I-98 帯板を要素とする平板の解法について(第2報)

室蘭工業大学 正員 能町純雄
 正員 松岡健一
 学生員 ○塙米昇士朗

1 まえがき

著者等は、先に、平板問題を帯板要素に分割する方法で、応力計算を行うための一方向連立差分方程式を設定し、これが、正確度の高い一種の有限要素法であることを示したが、ここでは、2本の基本的なフリ合式、即ち、モーメントと剪断力の式を、より一般的に示し、これを 四辺単純支持板、2辺単純支持で2辺自由の平板、及び、半無限カンチレバー板に適用し、帯板要素の分割数の増大による精度を調べたものである。

2 帯板要素の解式

平板において、右図の様に座標軸 x , y を取り、 y 方向に n 枚の帯板要素に分割する。入 $\ll \pi/\lambda$ として、平板の基本微分方程式は、指數型 Fourier 変換 $w = \frac{1}{\sqrt{2\pi}} \int_{-\infty}^{\infty} W_m e^{-imx} dm$ を適用し、今、考えている帯板上に、荷重が無いとして基本微分方程式を解く。

$$m^4 W_m - 2m^2 \frac{d^2 W_m}{dy^2} + \frac{d^4 W_m}{dy^4} = 0 \quad (1)$$

各項に $\sin \frac{n\pi}{\lambda} y$ をかけて、部分積分し、 $\int_0^\lambda W_m \sin \frac{n\pi}{\lambda} y dy = S_n[W_m]$ と置き、 $S_n[W_m]$ について整理する。

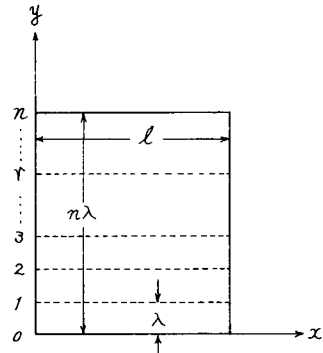


図-1

次に $W_m = \frac{2}{\lambda} \sum_{n=1}^{\infty} S_n[W_m] \sin \frac{n\pi}{\lambda} y$ と逆変換し、ベルヌーイの多項式に展開して、微小項を無視すると、

$$w = w_r f^{(0)}(\gamma) + w_s f^{(0)}(1-\gamma) + \frac{M_r^* \lambda^2}{N} f^{(1)}(\gamma) + \frac{M_s^* \lambda^2}{N} f^{(1)}(1-\gamma) \quad (2)$$

$$\Delta w = \left\{ -\frac{M_r^*}{N} + \ddot{w}_r \right\} f^{(0)}(\gamma) + \left\{ -\frac{M_s^*}{N} + \ddot{w}_s \right\} f^{(0)}(1-\gamma) + \left\{ -\frac{\ddot{M}_r^* \lambda^2}{N} + \ddot{w}_r \lambda^2 \right\} f^{(1)}(\gamma) + \left\{ -\frac{\ddot{M}_s^* \lambda^2}{N} + \ddot{w}_s \lambda^2 \right\} f^{(1)}(1-\gamma) \quad (3)$$

(2)式から 帯板の境界 y 点の挠角 ϕ を求めると、

$$\begin{aligned} \phi_{r,r+1} &= \frac{w_{r+1} - w_r}{\lambda} + \frac{2M_r^* \lambda}{6N} + \frac{M_{r+1}^* \lambda}{6N} \\ \phi_{r,r-1} &= \frac{w_r - w_{r-1}}{\lambda} - \frac{M_{r-1}^* \lambda}{6N} - \frac{2M_r^* \lambda}{6N} \end{aligned} \quad \left. \right\} \quad (4)$$

又、剪断力を Q とすれば 帯板の境界 y 点では

$$\begin{aligned} Q_{r,r+1} &= \frac{M_r^* - M_{r+1}^*}{\lambda} - \frac{N(\ddot{w}_{r+1} - \ddot{w}_r)}{\lambda} + \frac{2\lambda(\ddot{M}_r^* - N\ddot{w}_r)}{6} + \frac{\lambda(\ddot{M}_{r+1}^* - N\ddot{w}_{r+1})}{6} \\ Q_{r,r-1} &= \frac{M_r^* - M_{r-1}^*}{\lambda} - \frac{N(\ddot{w}_r - \ddot{w}_{r-1})}{\lambda} - \frac{\lambda(\ddot{M}_{r-1}^* - N\ddot{w}_{r-1})}{6} - \frac{2\lambda(\ddot{M}_r^* - N\ddot{w}_r)}{6} \end{aligned} \quad \left. \right\} \quad (5)$$

(以上、詳1<<は第24回年次学術講演会講演集参照のこと)

3 フリ合条件式 及び w_r と M_r^* の Fourier 変換

帯板の境界 y 点で 挠角が連続していることを考慮すれば (4)式から

$$\frac{w_{r+1} - 2w_r + w_{r-1}}{\lambda} + \frac{\lambda}{6N} (M_{r+1}^* + 4M_r^* + M_{r-1}^*) = 0 \quad (6)$$

荷重は y 点に作用するものとし、 P_r であらわせば 帯板の y 点において 剪断力は等しいから

$$\frac{M_{r+1}^* - 2M_r^* + M_{r-1}^*}{\lambda} - \frac{N}{\lambda} (\ddot{w}_{r+1} - 2\ddot{w}_r + \ddot{w}_{r-1}) + \frac{\lambda}{6} (\ddot{M}_{r+1}^* + 4\ddot{M}_r^* + \ddot{M}_{r-1}^*) - \frac{\lambda N}{6} (\ddot{w}_{r+1} + 4\ddot{w}_r + \ddot{w}_{r-1}) = -P_r \quad (?)$$

(6), (7)式を $x=0$, $x=\ell$ で単純支持として、それを左方向にフーリエ変換、右方向にフーリエ逆変換し、 $S_2[\bar{W}_{r,d}]$, $S_2[\bar{M}_{r,d}^*]$ にフーリエ解くと

$$\begin{aligned}
S_i[\bar{W}_{r,s}] = & - \left\{ \frac{(-1)^i}{(D_s + 3)^2} \sin \frac{i\pi}{n} \right\} \left\{ \frac{\bar{M}_o^* + N\bar{W}_n (2d^2 - \frac{\lambda d^4}{6}) - (\frac{1}{3} + \frac{1}{6})\lambda \cdot \bar{P}_{rd}}{N(\frac{1}{\lambda} - \frac{\lambda d^2}{6})^2} - 3 \cdot \bar{W}_n \right\} + \left\{ \frac{1}{(D_s + 3)^2} \sin \frac{i\pi}{n} \right\} \\
& \times \left\{ \frac{\bar{M}_o^* + N\bar{W}_o (2d^2 - \frac{\lambda d^4}{6}) - (\frac{1}{3} + \frac{1}{6})\lambda \cdot \bar{P}_{rd}}{N(\frac{1}{\lambda} - \frac{\lambda d^2}{6})^2} - 3 \cdot \bar{W}_o \right\} + \left\{ \frac{(-1)^i}{D_s + 3} \sin \frac{i\pi}{n} \right\} \left\{ \frac{\lambda \cdot \bar{P}_{rd}}{3^2 N (\frac{1}{\lambda} - \frac{\lambda d^2}{6})^2} \right. \\
& - \bar{W}_n \Big\} - \left\{ \frac{1}{D_s + 3} \sin \frac{i\pi}{n} \right\} \left\{ \frac{\lambda \cdot \bar{P}_{rd}}{3^2 N (\frac{1}{\lambda} - \frac{\lambda d^2}{6})^2} - \bar{W}_o \right\} - \left\{ \frac{(-1)^i}{D_s} \sin \frac{i\pi}{n} \right\} \left\{ \frac{\lambda \cdot \bar{P}_{rd}}{3^2 N (\frac{1}{\lambda} - \frac{\lambda d^2}{6})^2} \right\} \\
& + \left\{ \frac{1}{D_s} \sin \frac{i\pi}{n} \right\} \left\{ \frac{\lambda \cdot \bar{P}_{rd}}{3^2 N (\frac{1}{\lambda} - \frac{\lambda d^2}{6})^2} \right\} \quad (8)
\end{aligned}$$

$$S_d[\bar{M}_{n,d}^*] = \left\{ \frac{(-1)^i}{(D_i + \zeta)^2} \sin \frac{i\pi}{n} \right\} \left\{ \zeta \cdot \bar{M}_n^* + \frac{\lambda^2 d^2 \bar{M}_n^* + 6Nd^2 \bar{W}_n}{6 \left(\frac{1}{\lambda} - \frac{\lambda d^2}{6} \right)^2} - \frac{\bar{P}_{n,d}}{\lambda \left(\frac{1}{\lambda} - \frac{\lambda d^2}{6} \right)^2} \right\} - \left\{ \frac{1}{(D_i + \zeta)^2} \sin \frac{i\pi}{n} \right\} \\ \times \left\{ \zeta \cdot \bar{M}_o^* + \frac{\lambda^2 d^2 \bar{M}_o^* + 6Nd^2 \bar{W}_o}{6 \left(\frac{1}{\lambda} - \frac{\lambda d^2}{6} \right)^2} - \frac{\bar{P}_{n,d}}{\lambda \left(\frac{1}{\lambda} - \frac{\lambda d^2}{6} \right)^2} \right\} - \bar{M}_n^* \left\{ \frac{(-1)^i}{D_i + \zeta} \sin \frac{i\pi}{n} \right\} \\ + \bar{M}_o^* \left\{ \frac{1}{D_o + \zeta} \sin \frac{i\pi}{n} \right\} \quad (9)$$

$$z \in \mathbb{C}^* \quad d = \frac{m\pi}{l}, \quad \lambda = \frac{d^*(2 - \frac{\lambda d^*}{3})}{2(\frac{1}{\lambda} - \frac{\lambda d^*}{6})^2}, \quad D_i = 2(1 - \cos \frac{i\pi}{n})$$

次に、 $S_i[\bar{W}_{r,d}]$, $S_i[\bar{M}_{r,d}^*]$ を逆変換し、 $\bar{W}_{r,d}$ と $\bar{M}_{r,d}^*$ を求め、更に x 方向に Fourier 逆変換すると、 W_r , M_r^* が求まる。

$$\begin{aligned}
W_r &= \frac{2}{n} \sum_{m=1}^{\infty} \sum_{k=1}^{n-1} S_k[\bar{W}_{r,d}] \cdot \sin \frac{k\pi}{n} r \cdot \sin \frac{m\pi}{\ell} x \\
&= \sum_{m=1}^{\infty} \left[\left\{ \frac{\bar{M}_n^* + N \bar{W}_n (2d^2 - \frac{\lambda^2 d^4}{6}) - (\frac{1}{\lambda} + \frac{1}{6}) \lambda \cdot \bar{P}_{r,d}}{N \left(\frac{1}{\lambda} - \frac{\lambda d^2}{6} \right)^2} - \Im \cdot \bar{W}_n \right\} \times \Phi_{1-n}(\tau) + \left\{ \frac{\bar{M}_o^* + N \bar{W}_o (2d^2 - \frac{\lambda^2 d^4}{6})}{N \left(\frac{1}{\lambda} - \frac{\lambda d^2}{6} \right)^2} \right. \right. \\
&\quad \left. \left. - \left(\frac{1}{\lambda} + \frac{1}{6} \right) \lambda \cdot \bar{P}_{r,d} - \Im \cdot \bar{W}_o \right\} \times \Phi_{1-n}(\tau-n) + \left\{ \frac{\lambda \cdot \bar{P}_{r,d}}{\Im^2 N \left(\frac{1}{\lambda} - \frac{\lambda d^2}{6} \right)^2 - \bar{W}_n} \right\} \times \Psi_{1-n}(\tau) \right. \\
&\quad \left. - \left\{ \frac{\lambda \cdot \bar{P}_{r,d}}{\Im^2 N \left(\frac{1}{\lambda} - \frac{\lambda d^2}{6} \right)^2 - \bar{W}_o} \right\} \times \Psi_{1-n}(\tau-n) + \left\{ \frac{\lambda \cdot \bar{P}_{r,d}}{\Im^2 N \left(\frac{1}{\lambda} - \frac{\lambda d^2}{6} \right)^2} \right\} \left[\delta_{1,2}(\tau-n) - \delta_{1,2}(\tau) \right] \right] \cdot \sin \frac{m\pi}{\ell} x
\end{aligned}$$

----- (10)

$$M_r^* = \frac{2}{n} \sum_{m=1}^{\infty} \sum_{i=1}^{n-1} S_i [\bar{M}_{r,i}^*] \cdot \sin \frac{i\pi}{n} r \cdot \sin \frac{m\pi}{\lambda} x$$

$$= \sum_{n=1}^{\infty} \left\{ \left[\bar{J} \cdot \bar{M}_n^* + \frac{\lambda \alpha^4 \bar{M}_n^* + 6N\alpha^2 \bar{W}_n}{6 \left(\frac{1}{\lambda} - \frac{\lambda \alpha^2}{6} \right)^2} \right] - \frac{\bar{P}_{r,d}}{\lambda \left(\frac{1}{\lambda} - \frac{\lambda \alpha^2}{6} \right)^2} \right\} \times \Phi_{1-4}(r) - \left\{ \bar{J} \cdot \bar{M}_0^* + \frac{\lambda \alpha^4 \bar{M}_0^* + 6N\alpha^2 \bar{W}_0}{6 \left(\frac{1}{\lambda} - \frac{\lambda \alpha^2}{6} \right)^2} \right\}$$

$$-\frac{\bar{P}_{r,d}}{\lambda(\frac{1}{\lambda} - \frac{\lambda d^2}{\delta})^2} \left\{ \bar{\Phi}_{1,n}(r-n) - \bar{M}_n^* \bar{\Psi}_{1,n}(r) + \bar{M}_o^* \bar{\Psi}_{1,n}(r-n) \right\} \sin \frac{m\pi}{\ell} x \quad (11)$$

ここで $\bar{\Phi}_{1,n}(r), \bar{\Psi}_{1,n}(r), \bar{\delta}_{1,z}(r)$ は 次の如くである。

$$\frac{2 \sum_{i=0}^{n-1} (-1)^i \sin \frac{i\pi r}{n} \cdot \sin \frac{i\pi r}{n}}{D_i + \zeta} = \begin{cases} \bar{\Psi}_1(r) \\ \bar{\Psi}_2(r) \end{cases} = \begin{cases} 1 \\ (-1)^{n-r} \end{cases} \cdot \frac{\cosh \beta(n-r) - \cosh \beta(n+r)}{\cosh 2\beta n - 1}, \quad \begin{cases} \zeta \geq 0 \\ \zeta \leq -4 \end{cases}$$

$$= \begin{cases} \bar{\Psi}_2(r) \\ \bar{\Psi}_3(r) \end{cases} = \begin{cases} 1 \\ (-1)^{n-r} \end{cases} \cdot \frac{\cos \beta(n-r) - \cos \beta(n+r)}{\cos 2\beta n - 1}, \quad \begin{cases} 0 > \zeta \geq -2 \\ -2 > \zeta > -4 \end{cases}$$

$$\frac{2 \sum_{i=0}^{n-1} (-1)^i \sin \frac{i\pi r}{n} \cdot \sin \frac{i\pi r}{n}}{(D_i + \zeta)^2} = \begin{cases} \bar{\Phi}_1(r) \\ \bar{\Phi}_4(r) \end{cases} = \begin{cases} 1 \\ (-1)^{n-r} \end{cases} \cdot \frac{(n+r) \sinh \beta(n-r) - (n-r) \sinh \beta(n+r)}{\sqrt{\zeta(4+\zeta)} (\cosh 2\beta n - 1)}, \quad \begin{cases} \zeta \geq 0 \\ \zeta \leq -4 \end{cases}$$

$$= \begin{cases} \bar{\Phi}_2(r) \\ \bar{\Phi}_3(r) \end{cases} = \begin{cases} -1 \\ (-1)^{n-r} \end{cases} \cdot \frac{(n+r) \sin \beta(n-r) - (n-r) \sin \beta(n+r)}{\sqrt{\zeta(4+\zeta)} (\cos 2\beta n - 1)}, \quad \begin{cases} 0 > \zeta \geq -2 \\ -2 > \zeta > -4 \end{cases}$$

$$\frac{2 \sum_{i=0}^{n-1} (-1)^i \sin \frac{i\pi r}{n} \cdot \sin \frac{i\pi r}{n}}{D_z} = \begin{cases} \bar{\delta}_1(r) \\ \bar{\delta}_2(r) \end{cases} = \begin{cases} -1 \\ -(-1)^{n-r} \end{cases} \cdot \frac{r}{n}, \quad \begin{cases} \zeta \geq -2 \\ \zeta < -2 \end{cases}$$

$$\text{但し, } \beta = \log \left| 1 + \frac{\zeta}{2} + \sqrt{\left(1 + \frac{\zeta}{2}\right)^2 - 1} \right|, \quad \zeta \geq 0 \text{ or } \zeta \leq -4$$

$$\beta = \tan^{-1} \left| \frac{\sqrt{1 - \left(1 + \frac{\zeta}{2}\right)^2}}{1 + \frac{\zeta}{2}} \right|, \quad -4 < \zeta < 0$$

又, $\tau - x > 1 M_x, M_y, \zeta$

$$\left. \begin{aligned} M_y &= -N \left(\frac{\partial^2 w}{\partial y^2} + \nu \frac{\partial^2 w}{\partial x^2} \right) = M_r^* - N\nu \frac{\partial^2 w}{\partial x^2} \\ M_z &= -N \left(\frac{\partial^2 w}{\partial x^2} + \nu \frac{\partial^2 w}{\partial y^2} \right) = \nu M_r^* - N \frac{\partial^2 w}{\partial y^2} \end{aligned} \right\} \quad (12)$$

4 境界条件

(i) 固定端の場合

$$\theta_{n,\pi-1} = 0, \quad w_n = 0$$

(ii) 自由端の場合

$$M_o^* - N\nu \ddot{w}_o = 0, \quad R_o + \left(\frac{\partial M_{xy}}{\partial x} \right)_o = Q_{o,1}$$

(iii) 単純支持の場合

$$W_o = W_n = M_o^* = M_n^* = 0$$

5 数値計算例 室蘭工大電子計算機室 FACOM231 で計算した。

(i) Deflection and Moment ($x = \frac{a}{2}, y = \frac{b}{4}$)

in Point Loaded Simply Supported Square Plate

図-2

(ii) Moments (M_x , at $x = \frac{a}{2}, y = 0$ or b) and

Deflections (at $x = \frac{a}{2}, y = 0$ or b) in Sin Loaded Rectangular Plates with the Edges

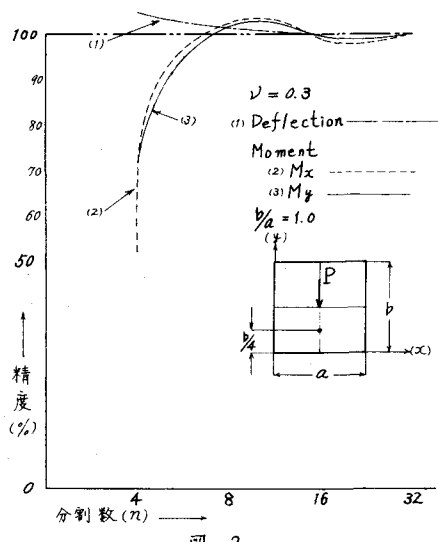
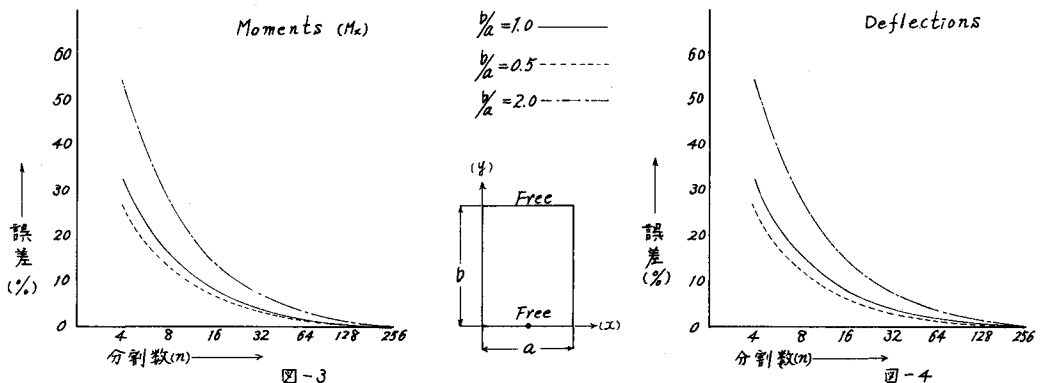


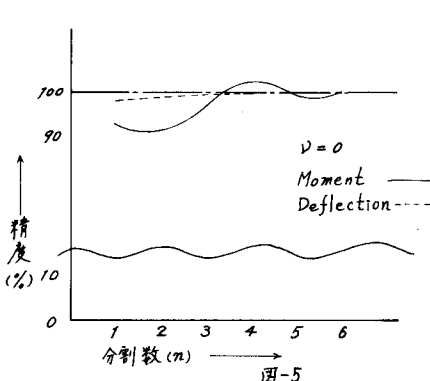
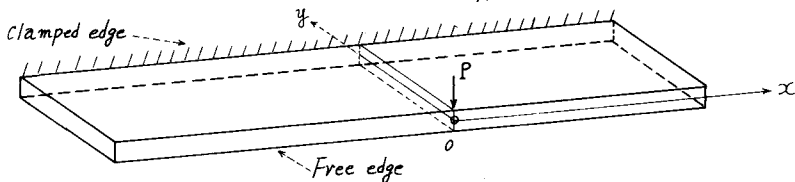
図-2

$x = 0, x = a$ Simply Supported and the Other Two Free, 図-3, 図-4

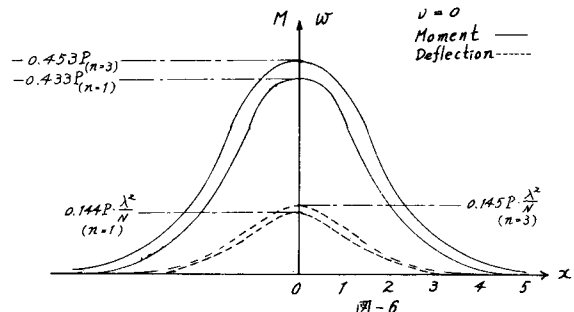
$$\nu = 0.3$$



(iii) Deflection and Moment in Point Loaded Semi-infinite Cantilever Plate 図-5, 図-6



The distribution of bending moment along the clamped edge and deflection along the free



6 結び

- (i) $n \lambda = b$ において、 $n \rightarrow \infty$ にすれば、(10), (11)式は TIMOSHENKO の正確解に一致する。
- (ii) この解析法は、 x, y 方向に渡る偏有限差方程式の場合にも適用できるので、いわゆる有限要素法について、等要素を用いて分割無限の極限を求め、いかなる形になるかを check できる見込みがある。

参考文献

- S.G. Nomachi : On Finite Fourier Sine Series with Respect to Finite Differences
 ↗ : A Note on Finite Fourier Transform Concerning Finite Integration
 Timoshenko, Krieger : Theory of Plates and Shells
 Karl Girkman : Flächentragwerke